УДК 621.8

РАСЧЕТ НЕСУЩЕГО КАНАТА КАБЕЛЬНОГО КРАНА НА ОСНОВЕ ТЕОРИИ ГИБКИХ НИТЕЙ, НЕСУЩИХ СИЛОВУЮ НАГРУЗКУ

Б.Н. Акрамов, И.А. Исматов, К.З. Тиллоев

Таджикский технический университет имени академика М.С. Осими

Кабельные краны имеют значительное значение при проведении строительных и ремонтных работ в горных местностях и равнинных местностях с неровным рельефом. Также кабельные краны выгодно использовать для различных ремонтных работ, где нет условий для использования стационарных или стреловых кранов. (простота и дешевизна использования). Подвесные дороги служат для обеспечения грузо - пассажирского потока в горных местностях и равнинных местностях с неровным рельефом. Важной частью для кабельных кранов и подвесных канатных дорог (фуникулеров) является правильный подбор и расчет несущих канатов, которые и определяют структуру и параметры всех остальных механизмов этих устройств. В статье предложена методика выбора и расчета несущего каната на основе теории механики гибких нитей, несущих сосредоточенную нагрузку. В качестве модели каната примем тяжелую (массовую) однородную нить с малой стрелой провисания. Составив для нее дифференциальные уравнения равновесия для расчетных участков нити получим расчетные зависимости для выявления формы и натяжения нити при определенном положении вертикальной нагрузки, а также величины реакций в местах крепления нити (каната). Как практическое применение расчетные зависимости для канатов строительных машин и фуникулеров должны проверяться далее на статическую и динамическую нагрузки.

Ключевые слова: кабельный кран, подвесная канатная дорога (фуникулер), грузоподъемное оборудование, несущий канат, сосредоточенная сила, распределённая нагрузка, теория и расчет, гибкая нить.

ХИСОБ КАРДАНИ РЕСМОНИ БОРБАРДОРИ КРАНИ КАБЕЛЙ ДАР АСОСИ НАЗАРИЯИ РИШТАХОИ ЧАНДИРИ БОРБАРДОРИ ҚУВВАИ БАРҚ Б.Н. Акрамов, И.А. Исматов, Қ.З. Тиллоев

Кранхои кабелй хангоми корхои сохтмонй ва таъмирй дар минтакахои кухй ва минтакахои хамвор бо релефи нохамвор ахамияти калон доранд. Инчунин, кранхои кабелй барои корхои гуногуни таъмирй, ки барои истифодаи кранхои статсионарй ё тирй шароит надоранд, муфид мебошанд (осонии истифода ва арзон). Роххои овезон барои таъмини чараёни боркаш ва мусофиркашонй дар минтакахои кухй ва минтакахои хамвор бо релефи нохамвор хизмат мекунанд. Кисми мухим барои кранхои кабелй ва роххои кабелии овезон (фуникулерхо) интихоби дуруст ва хисоб кардани ресмонхои борбардор мебошад, ки сохтор ва параметрхои хамаи механизмхои дигари ин дастгоххоро муайян мекунанд. Дар макола усули интихоб ва хисоб кардани ресмони борбардор дар асоси назарияи механикаи риштахои чандир, ки бори мутамарказро мебардоранд, пешниход карда шудааст. Хамчун модели таноб, мо риштаи якхелаи вазнинро бо тири хурди овезон кабул мекунем. Бо тартиб додани муодилахои дифференсиалии мувозинат барои кисмхои хисобшудаи ришта, мо вобастагии хисобшударо барои ошкор кардани шакл ва кашидани ришта хангоми мавкеъи муайяни бори амудй, инчунин андозаи реаксияхо дар чойхои васл кардани ришта (канат) ба даст меорем. Хамчун истифодаи амалй вобастагихои хисобшуда барои ресмонхои мошинхои сохтмонй ва фуникулерхо бояд минбаъд барои бори статикй ва динамикй санчида шаванд.

Калидвожаҳо: қувваи канорй, хок, олоти кории конусшакл, тадқиқоти тачрибавй, қувваи меҳварй, динамометр.

CALCULATION OF THE LOAD-BEARING ROPE OF A CABLE CRANE BASED ON THE THEORY OF FLEXIBLE THREADS CARRYING A POWER LOAD

B.N. Akramov, I.A. Ismatov, K.Z. Tilloev

Cable cranes are of significant importance when carrying out construction and repair work in mountainous and flat areas with uneven terrain. It is also advantageous to use cable cranes for various repair work where there are no conditions for the use of stationary or jib cranes. (simplicity and cheapness of use). Suspension roads are used to provide cargo and passenger traffic in mountainous areas and flat areas with uneven terrain. An important part for cable cranes and suspended cable cars (funiculars) is the correct selection and calculation of load-bearing ropes, which determine the structure and parameters of all other mechanisms of these devices. The article proposes a method for selecting and calculating a load-bearing rope based on the theory of mechanics of flexible threads carrying a concentrated load. As a rope model, we will take a heavy (massive) homogeneous thread with a small sagging boom. Having compiled differential equilibrium equations for the calculated sections of the thread for it, we obtain calculated dependencies to identify the shape and tension of the thread at a certain position of the vertical load, as well as the magnitude of reactions at the attachment points of the thread (rope). As a practical application, the calculated dependencies for ropes of construction machinery and funiculars should be checked further for static and dynamic loads.

Keywords: cable crane, suspended cable car (funicular), lifting equipment, supporting rope, concentrated force, distributed load, theory and calculation, flexible thread.

Введение

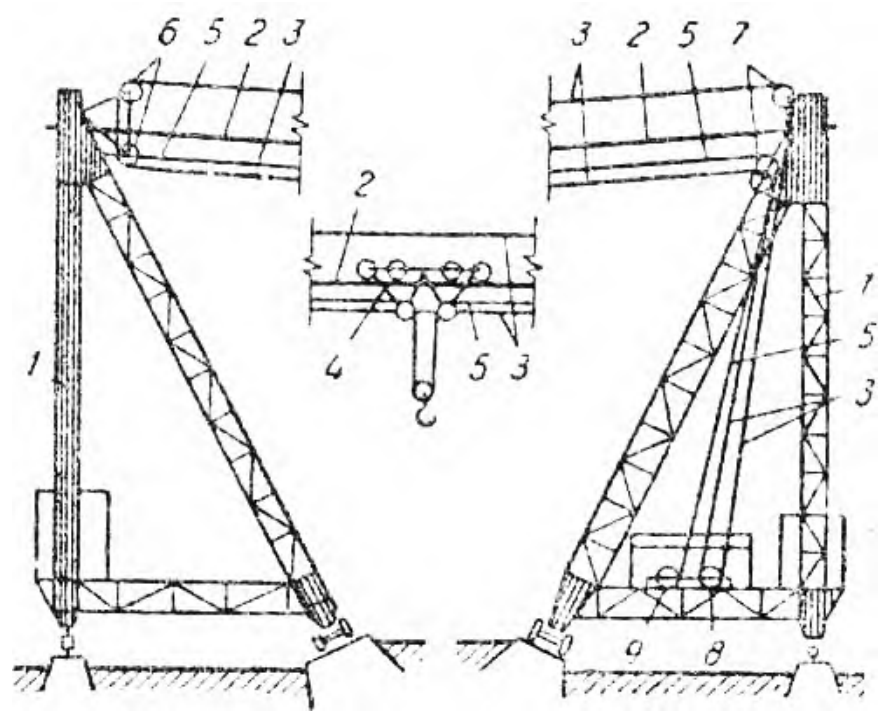
Кабельный кран - это грузоподъемное оборудование с двумя башнями (в общем случае), между которыми закреплен канат, выполняющий несущую роль. [1, 2]. По нему движется тележка с захватным механизмом. – крюком или грейфером [ИСО 4306/1-85]. Кабельные краны имеют очень широкий диапазон используемых технических параметров: грузоподъемность 3-25 т (специальные модели могут поднимать груз до 150 т), пролет 6 - 100 м (но есть и до 1 км), высота подъема груза 50- 300 м, высота расположения кабины управления 25-40 м, скорость перемещения высотных башен (для башенных конструкций) 0,08 – 0,4 м/с (есть 2,5 м/с и больше), скорость передвижения грузовой тележки 3,0 – 6,0 м/с.

По своей конструкции кабельные краны достаточно просты и поэтому надежны, они нашли широкое применение на объектах крупного строительства: при возведении шлюзов, дамб и мостов. Также они востребованы на масштабных рабочих площадках: на складах угля, песка, леса и т.п. Кабельные краны имеют применение при обслуживании складов лесных и сыпучих грузов, на строительстве гидротехнических сооружений, мостов, бетонных заводов и др. работ, которые проводятся в необычных

Паёми политехникй. Бахши Техника ва Чомеа. № 3 (11) 2025

условиях без возможности строгого упорядочения. Применяются эти краны также на малом по фронту участке работ большого объема и в труднодоступных условиях. Также кабельные краны имеют применение при сложных ремонтных работах (типа смена перекрытий над рабочими цехами, при отсутствии путей подачи различных конструкций и т. п). Весь часто эти краны могут применяться и в карьерных работах.

На рис. 1 представлен параллельно - передвижной кабельный кран, имеющий достаточно широкое применение на практике. В качестве опор крана используют башни 1 – машинная или опорная (справа) и контрбашня. Внешняя форма башни соответствует трехгранной пирамиде, ребра которой образуются вертикальной стойкой и двумя подкосами, а треугольное основание системой горизонтальных балок. Каждая башня опирается на три ходовые тележки, из которых две располагаются со стороны подкосов и одна – под стойкой. Ходовые тележки перемещаются по спаренным рельсам, установленным на бетонном или шпальном основаниях. К головкам башен крепится несущий канат 2. По которому бесконечным тяговым канатом 3 передвигается грузовая тележка 4. Вертикальное перемещение крюка производится грузовым (подъемным) канатом 5. Тяговый и грузовой канаты проходят через обводные 6 и направляющие 7 блоки на головках башен. В нижней части машинной башни установлены тяговая 8 и грузовая (подъемная) 9 лебедки. Один конец грузового каната крепится к барабану лебедки 9, а другой – к головке контрбашни. На несущем канате устанавливаются поддержки, на нижние ролики которых опираются тяговый и грузовой канаты, что исключает провисание последних. Конструкция поддержек обеспечивает свободный проход грузовой тележки по всей длине несущего каната. Для получения необходимой устойчивости башен в их основаниях размещают противовесы. Кроме того в структуру крана входят и другие его элементы – кабина управления, площадки обслуживания, лестницы, система электрооборудования, комплекс устройств безопасности и т.д.



Рисунк 1 - Схема кабельного крана

Вследствие неравномерности натяжения всех канатов, особенно грузоподъемного (нагруженное и ненагруженное состояния), возможно их большое провисание. Поэтому у кабель кранов с большим пролетом приходится применять специальные поддержки рабочих канатов, удерживающих их на заданном расстоянии о несущего каната. Величина провеса не должна выходить за пределы 3 - 8% от пролета. Надо отметить, что при малых провесах резко возрастают горизонтальные усилия на опоры каната, а при больших провесах требуется существенное увеличение высот опор. Если, например, у крана с пролетом 500 м увеличить, при прочих равных условиях, провес с 0,03 м до 0,08 м то снизится примерно вдвое нагрузка на опоры, но потребуется увеличение высоты опор на 25 м. Наиболее простейшей конструкцией являются подвижные цепные поддержки, принудительно расстанавливаемые на несущем канате на расстоянии 12-15 м друг от друга при движении грузовой тележки, с о они связаны легкой цепью.

Если температура воздуха окружающей среды понижается, то длина каната (весьма большой длины!) уменьшается, что увеличивает перегрузку и натяжение каната. При повышении же температуры воздуха окружающей среды длина каната увеличивается, то натяжение каната становится слабее, что ведет к возникновению сопротивления движению грузовой тележки и появлению изгибающий напряжений

Паёми политехникй. Бахши Техника ва Цомеа. № 3 (11) 2025

в канате. Это кардинальным образом меняет картину силовых усилий в несущем канате. Эта картина зависит также от местонахождения тележки в пролете крана.

Теоретическая часть

Рассмотрим методику подбора (расчета, выбора) канатов (несущего) от правильного расчета которой зависят все остальные параметры кабельного крана. Расчет всех остальных элементов кабельных кранов хорошо известен, т.к. они совпадают с теми механизмами и элементами которые применяются для других типов кранов [10].

В качестве модели каната примем тяжелую (массовую) однородную нить с малой стрелой провисания (иначе возникнут большие силы сопротивления передвижению грузовой тележки) при наличии сосредоточенной вертикальной силы в определенном месте (грузовая тележка). Примем, что в каждый момент времени (положении грузовой тележки) нить находится в силовом равновесии.

Однородная нерастяжимая нить длиной L – закреплена в опорах A и B, расстояние между которыми по горизонтали равно l и по вертикали h (q – удельный вес нити H/M на единицу длины пролета). В точке С приложена сосредоточенная сила F (вес грузовой тележки). Необходимо определить форму и натяжение нити, построить кривую равновесия нити и график изменения натяжения нити при заданном положении вертикальной силы, определить реакции в опорах А и В.

Поместим начало координат в точку А. На нить действует равномерно распределенная нагрузка сила тяжести интенсивностью q и сосредоточенная сила F в точке С (рис.2).

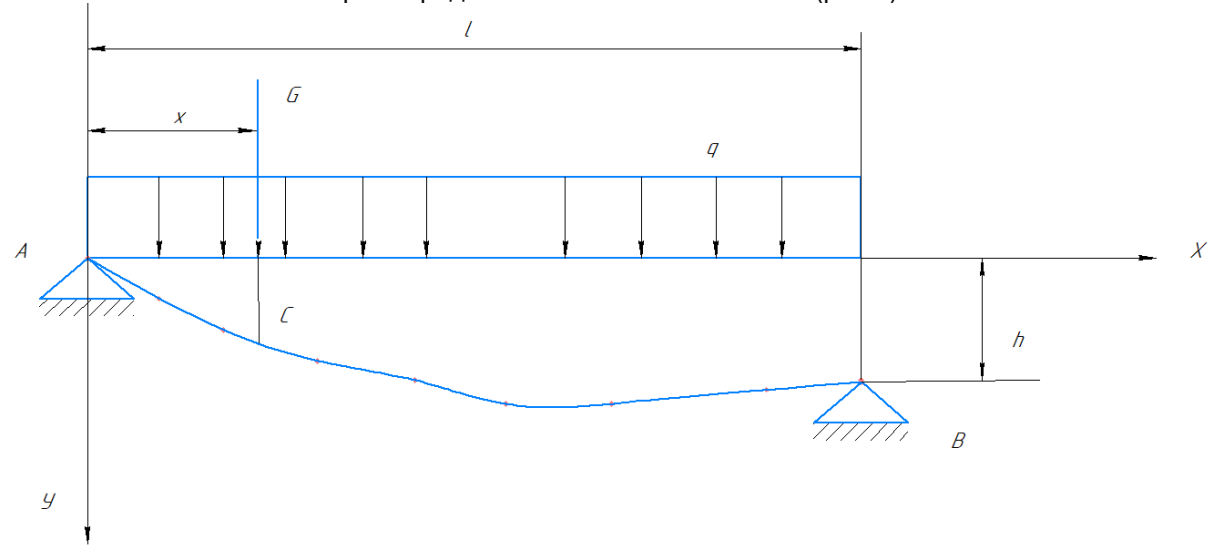


Рисунок 2 – Расчетная схема модели в виде однородной нерастяжимой нити

Разобьем нить на два участка АС и ВС сделав точкой разделения точку С в которой приложена сосредоточенная сила F. Это позволяет считать, что правая АС и левая ВС части нити работают в одинаковых условиях и их можно рассматривать с единой точки зрения (к обеим частям применить единый подход) – это суть так называемого метода исключения критических (ключевых) точек. Согласно [4 - 7], оба участка нити будут иметь параболическую форму, уравнения которой можно записать в виде:

$$y^{(1)} = \frac{1}{H} * q * \left(\delta_1 * x - \frac{x^2}{2}\right) + C_1,$$

$$y^{(2)} = \frac{1}{H} * q * \left(\delta_2 * x - \frac{x^2}{2}\right) + C_2.$$
(1)

$$y^{(2)} = \frac{1}{H} * q * \left(\delta_2 * x - \frac{x^2}{2}\right) + C_2.$$
 (2)

Уравнение (1) относится к части АС, а уравнение (2) – к части ВС. В этих уравнениях мы имеем 5 неизвестных величин - δ_1 , δ_2 , C_1 , C_2 и H (параметр H – горизонтальная составляющая силы натяжения нити в точке С входит одновременно в состав обоих участков – совместная величина). Для получения кривой формы нити необходимо определить эти пять величин.

Для определения постоянных интегрирования, С $_2$ используем условия закрепления нити в опорах A и В. Получим:

$$C_1 = 0 \text{ M } C_2 = h - \frac{1}{l!} * q * \left(\delta_2 * l - \frac{l^2}{2}\right).$$
 (a)

$$C_2 = \frac{1}{H} * q * \left(\delta_1 * x_c - \frac{x_c^2}{2} - \delta_2 * x_c + \frac{x_c^2}{2} \right).$$
 (6)

С $_1=0$ и С $_2=h-\frac{1}{H}*q*\left(\delta_2*l-\frac{l^2}{2}\right)$. (а) Рассмотрим точку C (единая точка для обеих ветвей каната): $x=x_C$ и $y^{(1)}=y^{(2)}$. Получим: $C_2=\frac{1}{H}*q*\left(\delta_1*x_c-\frac{x_c^2}{2}-\delta_2*x_c+\frac{x_c^2}{2}\right)$. (б) Составим уравнения равновесия сил приложенных в точке C. На точку C На точку С действуют сосредоточенная сила F (направлена вертикально вниз), сила реакции T_2 правой части линии на левую часть (она равна натяжению нити в этой точке для правой части и направлена под углом α_2 к горизонтали слева направо и сила реакции Т₁ левой части линии на правую часть (она равна натяжению нити в этой

Паёми политехникй. Бахши Техника ва Чомеа. № 3 (11) 2025

точке для левой части и направлена под углом a_1 к горизонтали справа налево). Обе реактивные силы являются касательными линиями к соответствующим участкам нити. Согласно условию равновесного положения (рис.3):

$$\overline{T_1} + \overline{T_1} + \overline{F} = 0.$$

$$T_2$$

$$T_1$$

$$T_2$$

$$T_3$$

$$T_4$$

$$T_4$$

$$T_5$$

$$T_6$$

Рисунок 3 - К определению уравнения равновесного положения нити

Это уравнение представим в проекциях на оси координат хАу:

$$-T_{1} * \cos \alpha_{1} + T_{2} * \cos \alpha_{2} = 0$$

$$T_{1} * \sin \alpha_{1} + T_{2} * \sin \alpha_{2} - F = 0$$
(4)

Так как натяжение нити в точке С равно Н (и одинаково для обеих частей нити), то имеем:

$$T_1 * cos\alpha_1 = T_2 * cos\alpha_2 = H.$$

И это равенство имеет место для всех точек нити. Отсюда выразим величины реактивных сил ${
m T_1}$ и T_2 и подставив эти значения в нижнее уравнение (4) получим его в следующем виде:

$$H * tg\alpha_1 + H * tg\alpha_2 - F = 0. (c)$$

Значения $[y_{\mathbb{C}}^{(1)}]^{'}$ и $[y_{\mathbb{C}}^{(2)}]^{'}$ найдем дифференцируя уравнения (1) и (2) и тогда для F можем написать: $F = (\delta_1 - \delta_2) * q$ (6)

$$F = (\delta_1 - \delta_2) * q ag{6}$$

Откуда выражение для
$$C_2$$
 с учетом значения F примет следующий вид:
$$C_2 = \frac{1}{H} * q * \left(\delta_1 * x_c - \frac{{x_c}^2}{2} - \delta_2 * x_c + \frac{{x_c}^2}{2} \right) = \frac{q}{H} * (\delta_1 - \delta_2) * x_c = \frac{F}{H} * l. \tag{7}$$

Выражение для
$$\delta_2$$
 из (3) с учетом полученного значения C_2 примет вид:
$$\delta_2 = \frac{l}{2} + \frac{H}{q*l}*(h-C_2) = \frac{l}{2} + \frac{h*H}{q*l} - \frac{F}{q} \,. \tag{8}$$

Теперь значение δ_1 можно выразить из (6) в следующем виде: $\delta_1 = \frac{F}{q} + \delta_2 = \frac{l}{2} + \frac{h*H}{q*l}.$

$$\delta_1 = -\frac{F}{q} + \delta_2 = -\frac{l}{2} + \frac{h * H}{q * l}. \tag{9}$$

Для вычисления неизвестного значения Н (горизонтальная составляющая натяжения нити) определим полную длину нити L как сумму длин участков АС и ВС.

Элементарную длину нити представим в следующем виде [3 -11]:

$$ds = \left(1 + \frac{1}{2} * (y^1)^2\right) * dx. \tag{10}$$

Для вычисления длины 1-го участка АС подставим в уравнение (10) выражение $[y_{\mathbb{C}}^{(1)}]^{'}$ и проинтегрируем это уравнение в интервале $0 \le x \le x_c$:

Паёми политехникй. Бахши Техника ва Цомеа. № 3 (11) 2025

$$l_1 = x_c + \frac{q^2}{6*H^2} * (x_c - \delta_1)^3.$$

Для вычисления длины 2-го участка BC подставим в уравнение (10) выражение $[y_{\mathbb{C}}^{(2)}]^{!}$ и проинтегрируем это уравнение в интервале $x_{\mathbb{C}} \leq x \leq l$:

$$l_2 = l - x_c + \frac{q^2}{6*H^2} * [(l - \delta_2)^3 - (x_c - \delta_2)^3].$$

Полная длина нити составит:

$$L = l_1 + l_2 = l + \frac{q^2}{6*H^2} * [(x_c - \delta_1)^3 + (l - \delta_2)^3 - (x_c - \delta_2)^3].$$
 (11)

Теперь если мы в это выражение (11) подставим значения δ_1 из (9) и δ_2 из (8) то получим длину L в виде функции от одного параметра H. После ряда преобразований получим расчетное уравнение для определения H по известной длине каната L:

$$H^3 * a + H^2 * b + H * c + d = 0, (12)$$

$$a = \left(\frac{h}{q*l}\right)^{3}, \quad b = \frac{3}{2} * \frac{h^{2}}{q^{2}*l} - \frac{6*(L-l)}{Q^{2}}, \quad c = \frac{6*F*h*x_{c}}{q^{2}*l} - \frac{3*l*h}{4*q} - \frac{6*F*h}{q^{2}}$$

$$d = 3 * x_{c} * \frac{F*l}{q} - 3 * x_{c}^{2} * \frac{F}{q} + \frac{l^{3}}{4} + \frac{3*F^{2}*l}{q^{2}}.$$

Зная значения H по формулам (8) и (9) вычислим δ_2 и δ_1 , по формуле (7) найдем C_2 .

Подставив полученные выражения в уравнения (1) и (2) получим уравнения парабол определяющие вид участков АС и АВ. Для них находим координаты вершин парабол (стрелу провисания) при граничных условиях: при $\mathbf{x}_{\kappa} = \delta_{\kappa} \quad \mathbf{y}^{(\kappa)} = f_{k}$

Подставляя эти граничные условия получим:

$$f_1 = \frac{q}{H} * \frac{{\delta_1}^2}{2} \tag{13}$$

$$f_2 = \frac{q}{H} * \frac{\delta_2^2}{2} + C_2. \tag{14}$$

Натяжение нити определяем по следующей формуле, в которой надо взять параметры, соответствующие рассматриваемому участку нити, АС или ВС:

$$T^{(1)} = q * (\frac{H}{q} + f_1 - y^{(1)}), \tag{15}$$

$$T^{(2)} = q * (\frac{H}{q} + f_2 - y^{(2)}).$$
 (16)

Результаты

Результаты расчетов удобно отразить в виде графика изменения натяжения нити T=T(x). По максимальному значению натяжения Т можно проверить на прочность выбранный канат и в случае необходимости поменять его параметры в нужную сторону (путем увеличения или уменьшения диаметра каната). Натяжение каната в точках A и B необходимы для расчета на прочность крепления каната к башням.

Пример расчета: Примем вес тележки равным 4000 H, вес транспортируемого груза 1000 H ($F=5000~{\rm H}$), пролет крана $l=100~{\rm M}$, высоту левой точки крепления над правой точкой $h=20~{\rm M}$, несущий канат типа 45,0 – B – H – 1180 ГОСТ 7675-73 с длиной L = $105~{\rm M}$ и удельным весом на единицу длины каната $q=116~{\rm H/M}$. Необходимо определить горизонтальное натяжение каната H (определяет разрывное усилие на канат) при расположении груза в точке C - $x_c=70~{\rm M}$. По мере перемещения груза это разрывное усилие естественно меняется, но это изменение составляет в пределах \pm 15%, поэтому может быть учтено при проверке каната на прочность (оставить необходимый запас). Расчет по приведенной методике дает разрывное усилие H = 14850 H. Для решение кубического уравнения используем [11]. Условие статической прочности $G=\frac{H}{S} \leq [G]$ выполняется с огромным запасом, что позволяет учитывать, как указанное выше отклонение в \pm 15%, так и динамический фактор работы каната (ветер, вибрация, неравномерность движения тележки и подъема груза и т.п.). Усилия для закрепления каната на опорах составят $T^{(1)}=T_{\rm A}=13364~{\rm H}, T^{(2)}=T_{\rm B}=15684~{\rm H}.$

Выводы

На основании теории механики гибких нитей предложена методика подбора несущего каната кабельных кранов. В качестве исходных данных для решения задачи использованы основные параметры кабельных кранов (вес грузовой тележки вместе с весом поднимаемого груза F; пролет крана l; условия местности в которой размещаются опоры (опорные башни) крана \mathbf{x}_{A} , \mathbf{y}_{A} , \mathbf{x}_{B} , \mathbf{y}_{B} ; необходимые для расчета

Паёми политехникй. Бахши Техника ва Чомеа. № 3 (11) 2025

тяговых механизмов усилия натяжения каната на креплениях). Предложенная методика расчета несущего каната может быть кроме кабельных кранов использована и в подвесных дорогах (фуникулерах).

Рецензент: Давлатшоев Р.А. — қ.т.н., доцент қафедры «Эқсплуатация автомобильного транспорта» ПППУ имени ақадемиқа М.С. Осими

Литература

- 1. Александров М.П., Колобов Л.Н., Лобов Н.А. и др. Подъемно-транспортные машины и оборудование М.: Машиностроение, 1986 400 с.
- 2. Ушаков П.Н., Бродский М.Г. Краны и лифты промышленных предприятий М.: Металлургия, 1974 352 с.
- 3. Бутенин, Н.В. Курс теоретической механики Т. 1. Статика и кинематика. Т. 2. Динамика / Н.В. Бутенин, Я.Л. Лунц, Д.Р Меркин. 11-е изд., стер. СПб.: Лань, 2009. 736 с.
- 4. Курс теоретической механики: учебник для вузов/под. ред. Колесников К.С. М.: Изд-во МГТУ имени Баумана Н.Э., 2002 302 с.
 - 5. Меркин Д.Р. Введение в механику гибкой нити M.: Hayka, 1980 182 с.
 - 6. Светлицкий В.А. Механика гибких стержней и нитей М.: Машстр., 1978 232 с.
 - 7. Щедров В.С. Основы механики гибкой нити М.: Машгиз, 1961 186 с.
 - 8. РТМ 24.090.34-85 Краны кабельные. Нормы расчета и проектирования
 - 9. ГОСТ 7675-73 Канаты стальные. Канат закрытый несущий.
 - 10. Дукельский А.И. Подвесные канатные дороги и кабельные краны М.: Машстр., 1966 482 с.
- 11. Бронштейн И.Н., Семендяев К.А. Справочник по математике М.: Гос. Изд-во технико-теорет. лит-ры, 1953-608 с.

МАЪЛУМОТ ДАР БОРАИ МУАЛЛИФОН-СВЕДЕНИЯ ОБ ABTOPAX-INFORMATION ABOUT AUTHORS

TJ	RU	EN
Акрамов Бахром Ниёзович	Акрамов Бахром Ниязович	Akramov Bahrom Niyazovich
н.и.т., дотсент	к.т.н., доцент	Candidate of Technical Sciences,
		u.a.docent
Донишгохи техникии	Таджикский технический	Tajik technical university named
Точикистон ба номи академик	университет имени академика	after academician M.S. Osimi
М.С. Осимй	М.С. Осими	
E-mail: <u>akramov57@bk.ru</u>		
TJ	RU	EN
Исматов Исмоилцон Ахмадович	Исматов Исмоилджон	Ismatov Ismoiljon Akhmadovich
	Ахмадович	
н.и.т. и.в. дотсент	к.т.н., и.о. доцента	Candidate of Technical Sciences,
		Associate Professor
Донишгохи техникии	Таджикский технический	Tajik technical university named
Точикистон ба номи академик	университет имени академика	after academician M.S. Osimi
М.С. Осимй	М.С. Осими	
E-mail: <u>kudratullo.tiloev@bk.ru</u>		
TJ	RU	EN
Тиллоев Қудратулло	Тиллоев Кудратулло	Tilloev Kudratullo
Зувайдуллоевич	Зувайдуллоевич	Zuvaidulloevich
H H T MUOH WOHON	K T H OT HEAD HAD TO THE	Candidate of Technical Sciences,
н.и.т., муал. калон	к.т.н., ст. преподаватель	Senior lecturer
Донишгохи техникии	Таджикский технический	Tajik technical university named
Точикистон ба номи академик	университет имени академика	after academician M.S. Osimi
М.С. Осимй	М.С. Осими	
E-mail: <u>ismatov.ismoiljon@mail.ru</u>		